

А.А. Колчев, А.О. Щирый

## Восстановление частотной зависимости комплексного коэффициента отражения по данным наклонного ЛЧМ-ионозонда

Марийский государственный университет, г. Йошкар-Ола

Поступила в редакцию 27.06.2006 г.

В приближении геометрической оптики на основе анализа распространения непрерывных линейно-частотных модулированных (ЛЧМ) сигналов в ионосферном КВ-канале предлагается методика обработки данных на выходе системы сжатия ЛЧМ-ионозонда, позволяющая восстанавливать частотную зависимость комплексного коэффициента отражения с точностью до начальной фазы в условиях многолучевого распространения. Применение рассматриваемого способа определения параметров отраженного сигнала позволит повысить информативность дистанционного ЛЧМ-зондирования атмосферы.

### Введение

В последние годы для дистанционного зондирования ионосферы широко используют сигналы с линейной частотной модуляцией (ЛЧМ) [1–3]. В результате такого зондирования определяется зависимость времени группового запаздывания от частоты для каждой моды распространения. Выбор ЛЧМ-сигнала связан с высокой разрешающей способностью по времени запаздывания, помехозащищенностью, пониженной излучаемой мощностью радиотехнических систем ЛЧМ-зондирования.

Кроме того, для непрерывного ЛЧМ-сигнала существует линейная связь между частотой сигнала  $f$  и временем излучения  $t$ , поэтому характеристики сигнала на выходе приемника ЛЧМ-ионозонда для момента времени  $t$  связаны со значениями коэффициента отражения  $H(f)$  на частоте  $f$ .

В работе [4] в рамках метода геометрической оптики была решена задача определения комплексных коэффициентов отражений отдельных лучей распространения коротковолнового радиосигнала на основе использования для зондирования непрерывного ЛЧМ-сигнала. Определение фазы коэффициента отражения для каждого луча этим способом осуществляется с точностью до линейного слагаемого, что не дает возможности определить полный коэффициент отражения всего многолучевого канала.

В данной статье представлена методика измерения частотной зависимости комплексных коэффициентов отражений для отдельных лучей с помощью непрерывных ЛЧМ-сигналов.

### Методика определения коэффициента отражения для отдельных лучей

Передатчик зондирующей аппаратуры излучает непрерывный ЛЧМ-сигнал  $a_1(t)$ , который можно представить в виде

Восстановление частотной зависимости комплексного коэффициента отражения...

627

8\*

$$a(t) = a_0 \exp[j(2\pi f_0 t + \pi \dot{f} t)^2] t \in \left[-\frac{T}{2}, \frac{T}{2}\right], \quad (1)$$

где  $f_0$  — начальная частота излучения;  $\dot{f} = \frac{df}{dt}$  — скорость изменения частоты;  $a_0$  — амплитуда сигнала;  $T$  — длительность излучения.

Мгновенная круговая частота  $\omega$  этого сигнала изменяется со временем линейно:  $\omega = 2\pi f_0 + 2\pi \dot{f} t$ .

Обработка принятого ЛЧМ-сигнала в приемнике методом сжатия в частотной области состоит в умножении его на сигнал гетеродина, комплексно-сопряженный излучаемому сигналу, и в анализе спектра полученного сигнала разностной частоты. Этим операциям соответствуют следующие математические соотношения [5]:

$$\begin{aligned} A(t) &= a_{\text{вых}}(t) a^*(t); \\ S(\Omega) &= \int_{-\infty}^{\infty} A(t) e^{-j\Omega t} dt, \end{aligned} \quad (2)$$

где  $*$  — знак комплексного сопряжения;  $A(t)$  — сигнал разностной частоты;  $S(\Omega)$  — его спектр;  $a_{\text{вых}}(t)$  — сигнал на выходе из ионосферы.

Чтобы найти спектр сигнала разностной частоты, используем подход, основанный на представлении среды распространения передаточной функцией. В рамках метода геометрической оптики коэффициенту отражения отдельного луча соответствует передаточная функция этого канала распространения  $H(\omega, t)$  [6]:

$$\begin{aligned} H(\omega, t) &= |H(\omega, t)| \exp[-j\varphi(\omega, t)] = \\ &= \sum_{i=1}^m |H_i(\omega, t)| \exp[-j\varphi_i(\omega, t)], \end{aligned} \quad (3)$$

где  $|H_i(\omega, t)|$  — модуль передаточной функции отдельного луча;  $\phi_i(\omega, t)$  — набег фазы отдельного луча в ионосфере;  $m$  — число мод распространения.

Элемент зондирующего сигнала занимает некоторую полосу  $\Delta f = \dot{f}T$  около частоты  $f_0$ . Считая канал квазистационарным для небольших масштабов времени  $T$ , фазу передаточной функции отдельного луча, при отсутствии частотной дисперсии, можно разложить в ряд Тейлора по степеням  $\Delta\omega = 2\pi(f - f_0)$  и  $\Delta t = t - t_0$ , ограничившись линейными слагаемыми, а  $|H_i(\omega, t)|$  считать постоянным:

$$\phi_i(\omega, t) \approx \phi_{i0} + \phi'_{i\omega}(\omega_0, t_0)\Delta\omega + \phi'_{it}(\omega_0, t_0)\Delta t;$$

$$|H_i(\omega, t)| = |H_i(\omega_0, t_0)| = |H_{i0}| = \text{const}, \quad (4)$$

где  $\omega_0 = 2\pi f_0$ ;  $\phi_{i0} = \phi_i(\omega_0, t_0)$ .

Как известно, первая производная от фазы по частоте равна времени группового запаздывания сигнала [6]:

$$\phi'_{i\omega}(\omega_0) = \tau_i(\omega_0). \quad (5)$$

Зависимость  $\phi(t)$  связана с доплеровским смещением частоты  $F_{ci}$ :

$$\phi'_{it}(t_0) = -\omega_{\partial i} = -2\pi F_{\partial i}. \quad (6)$$

Приближение (4) справедливо, когда выполняются неравенства:

$$\frac{\Delta\omega\Delta t\partial F_{\partial i}}{\partial f} \ll 2\pi; \quad (7)$$

$$\pi \frac{\partial F_{\partial i}}{\partial t} \Delta t^2 \ll 2\pi. \quad (8)$$

Доплеровский сдвиг частоты прямо пропорционален несущей частоте сигнала  $f_0$ , поэтому условие (7) можно записать следующим образом:  $F_{\partial i}\Delta t \ll f_0/\Delta f$ .

Например, при  $\Delta t = 1$  с,  $f_0 = 10$  МГц и  $F_{ci} = 1$  Гц неравенство (7) выполняется для  $\Delta f \approx 1$  МГц, т.е. для полосы частот, превосходящей полосу частот используемых в КВ-связи сигналов.

Слагаемое, содержащее вторую производную по времени, описывает нестационарность однолучевого ионосферного канала. Для средних широт и невозмущенной ионосфера  $\frac{\partial F_{\partial i}}{\partial t} \sim 0,01$  Гц/с [5]

и условие (8) выполняется при  $\Delta t < 7$  с.

Отсутствие частотной дисперсии предполагает, что зондирующий сигнал занимает полосу частот  $\Delta f$ , которая меньше полосы когерентности канала (т.е. диапазона частот с центром в точке  $f_0$ , на краях которого набег нелинейной составляющей фазы из-за частотной дисперсии по абсолютной величине равен 1 рад [7]).

Таким образом, приближение (4) выполняется в том случае, когда зондирующие сигналы имеют

полосу  $\Delta f \leq 100$  кГц и длительность  $T \leq 1$  с. При ионосферном распространении  $\tau_{0i} \sim 10^{-3}$ – $10^{-2}$  с и  $T \gg \tau_{0i}$  [5]. В этом случае из (2) и (4) находим

$$A(t) = \sum_{i=1}^m A_i(t) = \frac{a_0^2}{2\pi} \sum_{i=1}^m |H_{0i}| \exp j(\pi \dot{f} \tau_{0i}^2) \times \\ \times \exp [-j(\phi_i(\omega_0, t_0) - 2\pi F_{\partial i}(t - t_0) + 2\pi \dot{f} \tau_{0i} t)]. \quad (9)$$

При  $2\pi \dot{f} t = \Delta\omega$

$$A(t) = \frac{a_0^2}{2\pi} \sum_{i=1}^m |H_{0i}| \exp j(\pi \dot{f} \tau_{0i}^2) \times \\ \times \exp [-j(\phi_i(\omega_0, t_0) - 2\pi F_{\partial i}\Delta t + \tau_{0i}\Delta\omega(t))]. \quad (10)$$

Сравнивая (10) с (3) и (4), видим, что разностный сигнал  $i$ -моды с точностью до масштабного множителя  $a_0^2/2\pi$  и постоянной фазы  $\pi \dot{f} \tau_{0i}^2$  совпадает со значением передаточной функции этой моды. Зная параметры сигнала  $a_0$ ,  $\dot{f}$  и измеряя  $\tau_{0i}$ , можно определить значение передаточной функции ионосферного радиоканала в полосе частот

$$\left[ f_0 - \frac{\Delta f}{2}; f_0 + \frac{\Delta f}{2} \right].$$

Для определения времени группового запаздывания используем спектр разностного сигнала. Как видно из (10), разностный сигнал длительностью  $T$  представляет собой отрезок гармонического колебания. С учетом этого  $S(\Omega)$  можно записать в следующем виде:

$$S(\Omega) = \sum_{i=1}^m S_i(\Omega) = \frac{a_0^2 T}{2\pi} \sum_{i=1}^m |H_{0i}| \exp [-j(\phi_i(\omega_0, t_0) - \pi \dot{f} \tau_{0i}^2)] \times \\ \times \sin c \left( \frac{\Omega - 2\pi F_{\partial i} + 2\pi \dot{f} \tau_{0i} T}{2} \right), \quad (11)$$

где  $\sin c(x) = \sin x / x$ .

Модуль  $|S(\Omega)|$  имеет максимумы на частотах  $\Omega_{0i} = 2\pi F_{\partial i} - 2\pi \dot{f} \tau_{0i}$ . Так как  $\dot{f} \tau_{0i} \gg F_{\partial i}$ , то время группового запаздывания отдельных мод распространения определяется формулой  $\tau_{0i} = |\Omega_{0i}| / 2\pi \dot{f}$ .

В результате для передаточной функции многолучевого КВ-радиоканала с полосой частот  $\left[ f_0 - \frac{\Delta f}{2}; f_0 + \frac{\Delta f}{2} \right]$  запишем

$$H(\omega, t) = \sum_{i=1}^m H_i(2\pi f_0 + 2\pi \dot{f} t, t) = \\ = \frac{2\pi}{a_0^2} \sum_{i=1}^m A_i(t) \exp \left[ -j \left( \frac{\Omega_{0i}^2}{4\pi \dot{f}} \right) \right]. \quad (12)$$

## Методика определения частотной зависимости коэффициента отражения

Пусть в результате многолучевости в точку приема одновременно приходят несколько лучей с различной задержкой  $\tau_i$ . Каждому из них будет соответствовать своя разностная частота  $F$  (рис. 1, где  $F_1$  – разностная частота нижнего луча моды  $1F2$ ;  $F_2$  – моды  $2F2$ ;  $F_3$  – верхнего луча моды  $3F2$ ;  $f_n$  и  $f_k$  – начальная и конечная частота излучения;  $t_0$  и  $t_k$  – начальное и конечное время излучения).

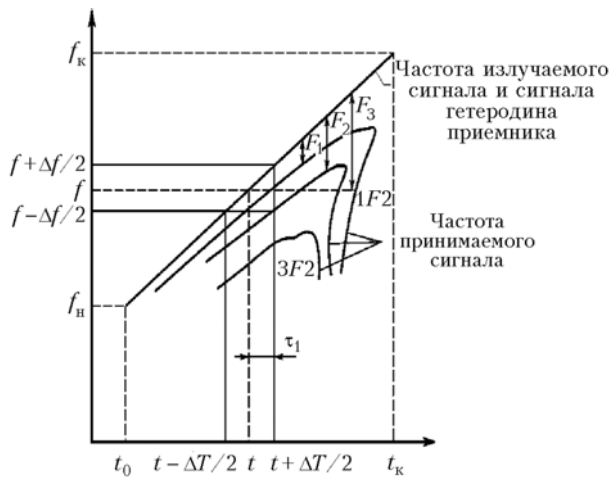


Рис. 1

При этом разрешающая способность по частоте  $\delta F$  задается соотношением  $\delta F \approx 1/T$ . Отсюда разрешающая способность по задержке  $\delta \tau$  будет равна [5]:

$$\delta \tau \approx \delta F / \dot{f} \approx 1/\Delta f. \quad (13)$$

Например, при частотном диапазоне элемента сигнала  $\Delta f$ , равном 100 кГц, потенциальная разрешающая способность метода составит 10 мкс.

Разделение принимаемых мод в разностном сигнале можно провести с помощью полосовых фильтров, согласованных с сигналами соответствующих мод (рис. 2). Разностный сигнал, проходящий через  $i$ -й частотный фильтр  $\Phi_i$  ( $1 \leq i \leq m$ ), умножается на комплексный множитель  $\frac{2\pi}{a_0^2} \exp\left[-j\left(\frac{\Omega_{0i}^2}{4\pi\dot{f}}\right)\right]$ .

Амплитуда и фаза сигнала на выходе сумматора  $A_{\text{вых}}(t)$  в момент времени  $t$  будут соответствовать амплитуде и фазе коэффициента отражения на частоте  $f = f_n + \dot{f}t$ .

На рис. 3 изображена зависимость  $|A_{\text{вых}}(t)|$  (серым цветом), полученная в результате имитационного моделирования прохождения ЛЧМ-сигнала (1) через радиоканал с передаточной функцией (4) при  $\Delta t = 1$  с,  $\dot{f} = 100$  кГц/с и его обработка в соответствии со схемой, приведенной на рис. 2. Пунктирной линией изображена зависимость  $|H(t)|$ .

На рис. 3, а отображены результаты моделирования для двухмодового канала распространения с параметрами

$$\dot{f}\tau_{01} - F_{\partial 1} = 404 \text{ Гц}, \quad \dot{f}\tau_{02} - F_{\partial 2} = 411 \text{ Гц},$$

$$|H_{01}| : |H_{02}| = 2 : 3,8.$$

На рис. 3, б и в показаны результаты моделирования для трехмодового и четырехмодового каналов с параметрами дополнительных мод

$$\dot{f}\tau_{03} - F_{\partial 3} = 407 \text{ Гц}, \quad |H_{01}| : |H_{02}| : |H_{03}| = 2 : 3,8 : 1,5$$

и

$$\dot{f}\tau_{04} - F_{\partial 4} = 417 \text{ Гц},$$

$$|H_{01}| : |H_{02}| : |H_{03}| : |H_{04}| = 2 : 3,8 : 1,5 : 1,1$$

соответственно.

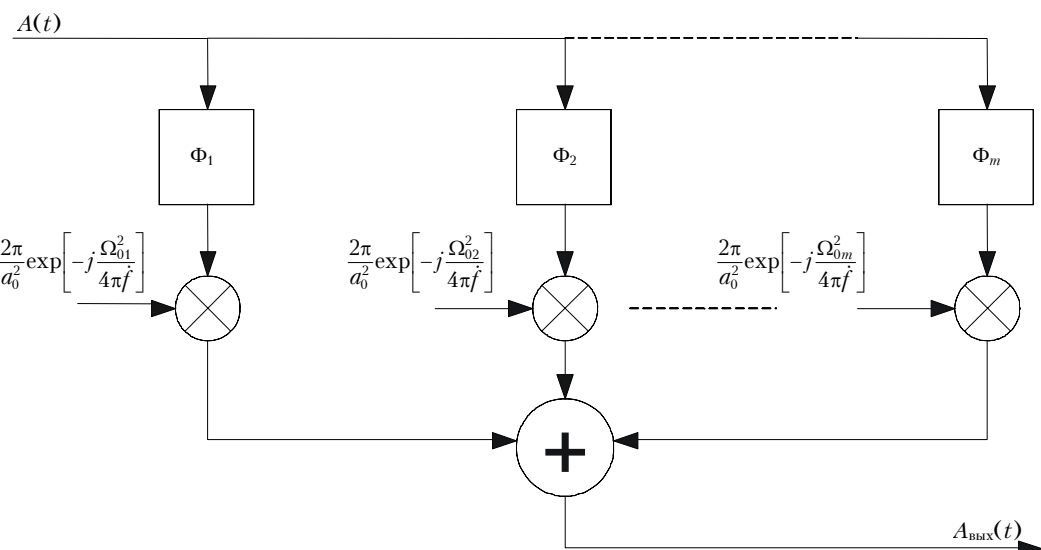


Рис. 2

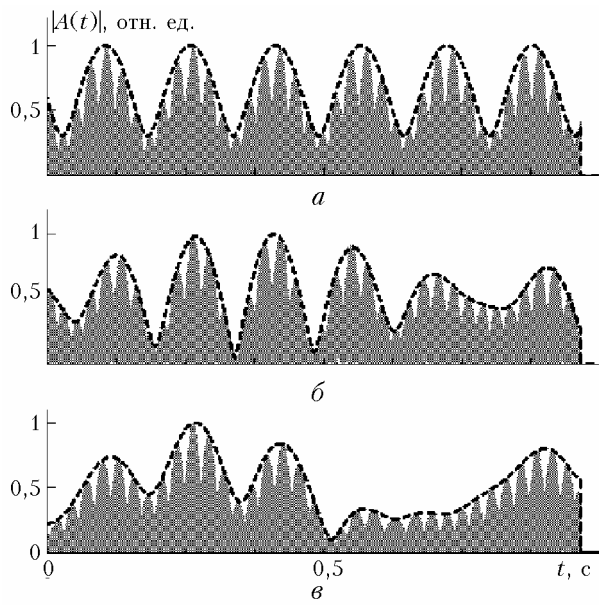


Рис. 3

Видно, что огибающая  $A_{\text{вых}}(t)$  хорошо согласуется с  $|H(t)|$ . Это говорит о том, что правильно определяются не только амплитуды отдельных мод распространения, но и фазы.

### Заключение

Представлена методика обработки данных зондирования ионосферы непрерывным ЛЧМ-сигналом, позволяющая определять не только частотную зависимость времени запаздывания, но и частотную зависимость комплексного коэффициента отражения для отдельных для лучей.

*A.A. Kolchev, A.O. Shiry. Reconstruction of the frequency dependence of the complex reflection coefficient from data of the oblique FMCW ionosonde.*

Based on the analysis of continuous LFM signals inside the ionosphere channel, in the geometric optics approximation, a method of processing data at the output of LFM-ionosonde compression, allowing reconstruction of the reflection frequency dependence at an accuracy to the initial phase in conditions of many-beam distribution. The application of the above method will allow one to increase the information capacity of the remote LFM sensing in the atmosphere.

Применение рассматриваемой методики позволяет повысить достоверность и информативность дистанционного зондирования ионосферы ЛЧМ-сигналами.

Работа выполнена при поддержке РФФИ, проект № 07-01-00293.

1. Иванов В.А., Куркин В.И., Носов В.Е., Урядов В.П., Шумаев В.В. ЛЧМ-ионозонд и его применение в ионосферных исследованиях // Изв. вузов. Радиофиз. 2003. Т. 46. № 11. С. 919–950.
2. Ильин Н.В., Орлов И.И. К теории зондирования ЛЧМ-сигналами // Оптика атмосф. и океана. Т. 10. 1997. № 12. С. 1517–1523.
3. Куркин В.И., Носов В.Е., Колчев А.А., Егошин А.Б., Батухтин В.И., Иванов В.А., Рябова Н.В., Шумаев В.В., Урядов В.П. Особенности распространения кругосветных сигналов на трассах российской сети ЛЧМ-ионозондов в годы высокой и низкой солнечной активности // Изв. вузов. Радиофиз. 2000. Т. 43. № 10. С. 843–854.
4. Иванов В.А., Колчев А.А., Шумаев В.В. Определение передаточной функции широкополосного КВ-радиоканала для отдельных мод распространения // Проблемы дифракции и распространение волн: Межвед. сб. М.: МФТИ, 1995. С. 122–131.
5. Филипп Н.Д., Блаунштейн Н.Ш., Ерухимов Л.М., Иванов В.А., Урядов В.П. Современные методы исследования динамических процессов в ионосфере. Кишинев: Штиница, 1991. 287 с.
6. Гинзбург В.Л. Распространение электромагнитных волн в плазме. М.: Физматиз, 1960. 552 с.
7. Иванов В.А., Колчев А.А., Рябова Н.В., Шумаев В.В. Исследование искажений сигналов с расширенным спектром на выходе сквозного радиоканала с дисперсией // Проблемы дифракции и распространения волн: Межвед. сб. М.: МФТИ, 1994. С. 62–72.